

IPv6환경에서 DDoS 침입탐지

구민정*, 오창석**

DDoS Attack Detection on the IPv6 Environment

Min-jeong Koo*, Chang-Suk Oh*

요약

인터넷 웜과 같은 DDoS(Distribute Denial of Service Attack) 공격에 사용되는 네트워크 트래픽과 정상적인 서비스를 위한 네트워크 트래픽을 구분해 내는 것은 쉽지 않다. 정상적인 패킷을 유해 트래픽으로 판단하고 유해 트래픽의 공격자의 의도대로 서비스를 못하는 경우가 발생하므로, 인터넷 웜과 DDoS 공격으로부터 시스템을 보호하기 위해서는 공격 트래픽에 대한 정확한 분석과 탐지가 우선되어야 한다. IPv6 환경으로 전환될 때 발생하는 유해 트래픽에 대한 연구가 미약한 상태이므로, 본 논문에서는 IPv6 환경에서 NETWIB로 공격을 수행하고 공격 트래픽을 모니터링한 후 MIB(Management Information Base) 객체를 지수평활법을 적용하여 예측치 구한 후 임계치를 산정하여 공격을 판별한다.

Abstract

By mistaking normal packets for harmful traffic, it may not offer service according to the intention of attacker with harmful traffic, because it is not easy to classify network traffic for normal service and it for DDoS(Distributed DoS) attack like the Internet worm. And in the IPv6 environment these researches on harmful traffic are weak. In this dissertation, hosts in the IPv6 environment are attacked by NETWIB and their attack traffic is monitored, then the statistical information of the traffic is obtained from MIB(Management Information Base) objects used in the IPv6. By adapting the ESM(Exponential Smoothing Method) to this information, a normal traffic boundary, i.e., a threshold is determined. Input traffic over the threshold is thought of as attack traffic.

▶ Keyword : Harmful Traffic, Traffic Analysis, Intrusion Prevention

• 제1저자 : 구민정
• 접수일 : 2006.11.27, 심사일 : 2006.11.30, 심사완료일 : 2006. 12.25
* 영동대학교 컴퓨터공학과, ** 충북대학교 전기전자컴퓨터공학부

I. 서론

정보통신의 발달과 인터넷의 급속한 발전으로 인하여 우리나라는, 인터넷 이용인구가 3천만 명에 넘어서고 초고속 인터넷 가입자수가 1,100 만명이 달하는 등 인터넷 이용이 보편화되고 서비스의 고도화에 대한 수요로 IPv4는 한계에 도달했다. 각 국가의 정부는 인터넷 주소의 부족 문제를 근본적으로 해결하고 인터넷 IT산업의 육성, 인터넷망의 고도화, 인터넷 비즈니스의 활성화 및 인터넷 이용환경의 개선을 도모하고자 인터넷 신 주소체계인 IPv6 환경 도입 통한 차세대 인터넷 기반 구축 계획을 수립하고 있다. 반면, 인터넷의 범용적인 사용과 발전의 역작용으로 현재의 IPv4 환경에서는 침해 사고 및 정보의 유출, 파괴, 서비스 거부, 위조, 변조 등의 컴퓨터 범죄가 급격히 증가하고 있는 실정이다. 향후 IPv6환경이 완벽하게 실현된다면 U-시대 즉 모든 가전제품뿐만 아니라 소형의 전자제품에도 IP가 부여되는 All-IP망이 도래되면 지금의 IPv4에서 발생하는 트래픽 보다 대량의 트래픽이 네트워크에 유통되고, 보다 다양하고 위협적인 악성 트래픽의 발생할 것이다[1].

이에 본 논문에서는 IPv6 환경의 공격 트래픽 유입시 공격 탐지를 분석하여 신속하고 탐지율을 향상 시키는 SNMP [2]를 설치 후 지수평활법으로 트래픽을 공격을 탐지하는 방법을 제안한다.

II. IPv6 환경의 공격 탐지

IPv6 환경에서 IP계층을 통해 IPv4 환경과 마찬가지로 TCP 세그먼트와 UDP데이터그램, ICMP메시지가 전송된다. IPv6 환경에서 TCP와 UDP 헤더 자체는 크게 변경되는 부분이 없기 기존의 TCP SYN 플러딩 공격과 UDP 플러딩 공격은 유효하며 ICMP 메시지를 이용한 공격이 다양하게 자행되는 특성이 있다.

IPv6 환경 공격 탐지를 위한 공격은 NETWOX로 TCP 플러딩, ICMP 플러딩, UDP 플러딩 공격메시지를 생성하여 대량으로 피해 호스트로 발송하였다.

2.1 TCP SYN 플러딩 공격

TCP 연결은 호스트가 서버에 접속 연결을 요청하는

SYN 패킷을 보내면 그 응답으로 ACK 패킷을 보내고 다시 SYN 패킷을 보내서 상대방에 ACK 응답을 받으면 최종 연결을 수락하는 3웨이 핸드셰이킹 연결방식을 사용한다.

TCP SYN 플러딩 공격을 위한 헤더 포맷은 Next Header의 값을 6으로 설정한 후 출발지 주소를 위조하게 된다. 다음으로는 TCP 헤더 필드중 플래그 필드에서 SYN에 해당하는 필드를 1로 세팅하여 지속적으로 목적지 시스템으로 전송하게 되면 목적지 호스트는 시스템의 과부하로 정상적인 서비스를 제공할 수 없게 된다. 그림 1은 TCP 플러딩 공격을 수행하는 그림이다. TCP 플러딩 공격 중 TCP SYN을 설정하여 피해 호스트에게 연결 요청을 하는 과정에서 확인 메시지를 보내지 않으므로 HALF-OPEN 상태로 만들게 된다. 대량의 HALF-OPEN의 연결 요청이 시스템에 계속 누적되므로 버퍼 오버플로우를 발생하게 만드는 공격이다. 그림 1에서 보이는 것처럼 Flag중 SYN에 1을 설정함으로써 가능하다.

```

root@h2h root# ./tcp-syn.sh
IP
version | traffic class | Flow label
+-----+-----+-----+
6 | 0 | 0
payload length | next header | hop limit
+-----+-----+-----+
0x0014-20 | 0x06-6 | 50
source
+-----+-----+-----+
3ff:2289:1:2::1
destination
+-----+-----+-----+
3ff:2289:1:2::2
TCP
source port | destination port
+-----+-----+
0x04D2-1234 | 0x0050-80
seqnum
+-----+-----+
0x69009ED2-1756012242
acknum
+-----+-----+
0-00000000-0
doff | len | offset | offset | window
+-----+-----+-----+-----+
5 | 10 | 10 | 10 | 0x0000-0
checksum | offset
+-----+-----+-----+
0x0020-07130 | 0x0000-0
IP
version | traffic class | Flow label
+-----+-----+-----+
6 | 0 | 0
payload length | next header | hop limit
+-----+-----+-----+
0x0014-20 | 0x06-6 | 50
source
+-----+-----+-----+
3ff:2289:1:2::1
destination
+-----+-----+-----+
3ff:2289:1:2::2
TCP
source port | destination port
+-----+-----+
0x04D2-1234 | 0x0050-80
    
```

그림 1. TCP SYN 플러딩 공격 헤더
Fig. 1. Header of TCP SYN Flooding Attack

2.2 UDP 플러딩 공격

IPv6 환경에서 UDP 플러딩 공격도 TCP SYN 플러딩 공격과 같이 상위 프로토콜 IPv6에 캡슐화되어 사용됨으로 IPv4에서와 같은 방법으로 공격이 적용된다. UDP 플러딩 공격은 일반적으로 널리 사용되는 프로그램의 포트를 목표로 하는 공격과, 목적지의 포트번호를 7, 31335, 19등 특정 포트 번호로 세팅하여 서버넷의 멀티캐스트 주소 값을 목적지 주소로 해 보내는 공격들이 있다. 그림 2는 공격 도구로서 UDP 플러딩 공격을 수행하는 그림이다. 공격은 수신측에 계속적인 UDP 플러딩 패킷을 보냄으로써 제대로된 서비스를 할 수 없게 만드는 과정이다.

```

root@h2b root# ./udp-flood.sh
IP
version| traffic class |          flow label
: 6 |          0 |
:-----|-----|-----
payload length | next header | hop limit
: 0x0000-0 |          0x11-17 |          50
:-----|-----|-----
source
: 3fff:2209:1:2::1
destination
: 3fff:2209:1:2::2
UDP
source port | destination port
: 0x0402-1234 | 0x0907-3135
:-----|-----
length | checksum
: 0x0000-0 | 0x0C0B-0267
IP
version| traffic class |          flow label
: 6 |          0 |
:-----|-----|-----
payload length | next header | hop limit
: 0x0000-0 |          0x11-17 |          50
:-----|-----|-----
source
: 3fff:2209:1:2::1
destination
: 3fff:2209:1:2::2
UDP
source port | destination port
: 0x0402-1234 | 0x0907-3135
:-----|-----
length | checksum
: 0x0000-0 | 0x0C0B-0267
IP
version| traffic class |          flow label
: 6 |          0 |
:-----|-----|-----
payload length | next header | hop limit
: 0x0000-0 |          0x11-17 |          50
:-----|-----|-----
source
: 3fff:2209:1:2::1
destination
: 3fff:2209:1:2::2
UDP
source port | destination port
: 0x0402-1234 | 0x0907-3135
:-----|-----
length | checksum
: 0x0000-0 | 0x0C0B-0267
IP
version| traffic class |          flow label
: 6 |          0 |
:-----|-----|-----
payload length | next header | hop limit
: 0x0000-0 |          0x11-17 |          50
:-----|-----|-----
source
: 3fff:2209:1:2::1
destination
: 3fff:2209:1:2::2
UDP
source port | destination port
: 0x0402-1234 | 0x0907-3135
:-----|-----
length | checksum
: 0x0000-0 | 0x0C0B-0267
IP
version| traffic class |          flow label
: 6 |          0 |
:-----|-----|-----
payload length | next header | hop limit
: 0x0000-0 |          0x11-17 |          50
:-----|-----|-----
source
: 3fff:2209:1:2::1
destination
: 3fff:2209:1:2::2
UDP
source port | destination port
: 0x0402-1234 | 0x0907-3135
:-----|-----
length | checksum
: 0x0000-0 | 0x0C0B-0267

```

그림 2. UDP 플러딩 공격
Fig. 2. Header of UDP Flooding Attack

2.3 ICMP 플러딩 공격

ICMP 메시지는 다양한 공격의 표적이 될 수 있다. ICMP 메시지는 수신자로 하여금 메시지를 처음 발송한 곳이 아닌 다른 곳에서 온 것이라 믿도록 하는 공격을 받을 수 있다. ICMP 메시지는 메시지 및 그에 대한 응답이 발신자의 의도와는 다른 곳으로 전송되도록 하는 공격을 받을 수 있다. 악의를 가지고 중간에 가로채어 메시지를 포함하고 있는 IP 패킷에서 목적 및 발신 주소를 변경하는 경우와 메시지 필드 및 Payload 변경 공격, 계속해서 잘못된 IP 패킷을 전송하는 방식으로 서비스 거부 공격에 사용된다. 그림 3은 ICMP 플러딩 패킷은 Type이 icmp echo request를 나타내도록 128로 설정하였다. 수신측에 계속적인 icmp request를 보냄으로써 제대로된 서비스를 할 수 없게 만드는 과정이다.

```

root@h2b root# ./icmp-flood.sh
IP
version| traffic class |          flow label
: 6 |          0 |
:-----|-----|-----
payload length | next header | hop limit
: 0x0000-0 |          0x30-58 |          50
:-----|-----|-----
source
: 3fff:2209:1:2::1
destination
: 3fff:2209:1:2::2
ICMP6_echo request
type | code | checksum
: 0x00-128 | 0x00-0 | 0x4971-18801
:-----|-----|-----
id | seqnum
: 0x0245-33349 | 0xEFEC-61420
data:

```

그림 3. ICMP 플러딩 공격
Fig. 3. Header of ICMP Flooding Attack

2.4 기존의 공격 탐지

Libpcap을 이용한 탐지 모듈이 현재 다수 사용되고 있으며 탐지 모듈은 공격 모듈에서 공격을 수행하였을 경우

네트워크에서 트래픽을 수집한 결과를 이용하여 공격 여부를 탐지하는 알고리즘이다. 탐지 모듈의 전체 흐름도는 그림 4와 같다. 탐지 모듈은 네트워크 기반이므로 네트워크상의 모든 트래픽을 수집하게 된다. 수집된 트래픽들은 헤더 정보에서 분석을 위해 수집 시간, 프로토콜, 출발지 주소, 목적지 주소를 추출하여 탐지 알고리즘에 의해 공격 여부를 판단하게 된다[3].

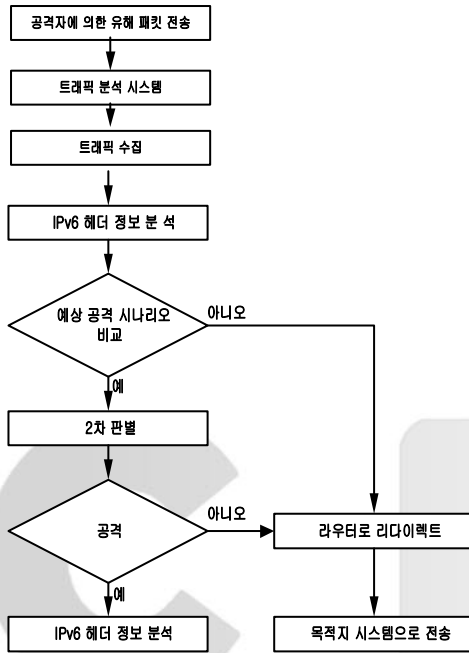


그림 4. Libpcap 이용한 트래픽 분석 흐름도
Fig. 4. Flow of Detection Analysis Using Libpcap

Libpcap을 이용한 방법은 공격 트래픽을 누적한 평균임계값을 구하여 그 수치를 기준으로 공격을 탐지하는 단순한 구조로 TCP, UDP, ICMP Flooding을 구분하고 있다. 공격탐지 시간은 1분이 소요되며 다음 Libpcap을 탐지 모듈 알고리즘은 먼저 Pacpetcapture 함수를 이용하여 네트워크 기반의 패킷을 수집한 후 ipv6save 구조체에 필요한 정보를 저장하게 된다. 다음으로는 Detectmodule함수를 이용하여 공격 데이터베이스에 있는 공격 종류와 일치하게 되면 해당 차단 모듈을 호출하고 로그파일을 남기게 된다. 정상일 경우는 서비스를 내부 네트워크로 송수신이 허용되게 된다.

```

DAD-NA Attack detection:
if [ IPv6save->nh=58 && IPv6save->data[0]=135 ]
  Increase DAD_NS_Count
if [ IPv6save->nh=58 && IPv6save->data[0]=136 ]
  Increase DAD_NA_Count

TCP SYN Attack detection:
if [ IPv6save->nh=6 && (IPv6save->data[6])&0x02=2]
  Increase TCP_SYN_Count
TCP_SYN_rate=TCP_SYN_Count/Total_Packet_Count-
(number of different attack)+1
if [TCP_SYN_rate>threshold B]
  if [top_SYN_rate>threshold A]
    Detect Attack level 2
  else
    Detect Attack level 1
DAD_NA_rate=DAD_NA_Count/Total_Packet_Count-
(number of different attack)+1
if [DAD_NA_rate > threshold A && DAD_NA_Count>DAD_NS_count]
  {
  if [DAD_NA_Count > threshold B=30]
    Detect Attack level 2
  else
    Detect Attack level 1
  }

UDP Flooding Attack detection:
if [ IPv6save->nh=17 &&
IPv6save->data[2]*256+IPv6save->data[3]=attack port]
  increase UDP_Flooding_Count
UDP_Flooding_rate=UDP_Flooding_Count/Total_Packet_Count
-(number of different attack)+1
if [UDP_Flooding_rate > threshold]
  Detect Attack level 2

ICMP Flooding Attack detection:
if [ IPv6save->nh=58 && IPv6save->data[0]=128
&& IPv6save->da[0]=0xff ]
  Increase ICMP_Ping_Count
ICMP_Ping_rate=ICMP_Ping_Count/Total_Packet_Count -
(number of different attack)+1
if [ICMP_Ping_rate > threshold]
  Detect Attack level 2
    
```

그림 5. Libpcap 이용한 트래픽 검출 알고리즘
Fig. 5. Detection Algorithm Using Libpcap

III. 지수평활법을 이용한 공격 탐지

3.1 트래픽 분석 모델

트래픽 분석모델을 관리대상시스템(피해 시스템)의 트래픽을 분석하는 모델로 수행 가능 개념도이다. 관리대상시스템에 공격이 유입되면 관리시스템에서 MIB를 30초 단위로 수집하여 공격탐지모듈에서 탐지를 하고 공격으로 판정이나면 관리자에게 Alarm을 발송하고 MRTG를 통해 트래픽의 통계 그래프를 TCP, UDP, ICMP별로 확인할 수 있다[4-6].

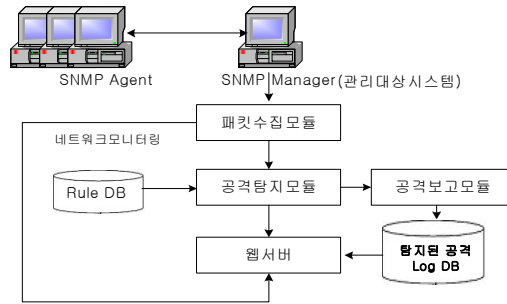


그림 6. 트래픽 분석 모델
Fig. 6. Model of Traffic Analysis

MIB객체 수집시간을 단축하기 위해 공격에 민감한 MIB를 표 1의 공격 검출에 사용되는 MIB로 실험을 통해 선별하여 트래픽정보를 수집하였다.

표 1. 공격 검출에 사용되는 MIB
Table 1. Detection MIB of Attack Traffic

MIB 객체	설명
ipv6IfStatsInReceives	수신한 데이터그램의 총수
ipv6TcpConnLocalPort	TCP로 connection 수신된 로컬 Port 번호
ipv6UdpLocalPort	UDP로 수신된 로컬 Port 번호 : 목적지 포트에 응용 프로그램이 없는 경우(Null)
ipv6IfIcmpOutEchoReplies	송신된 ICMP 요청 메시지의 총 개수 : EchoReply 송신 메시지수
tcpInSegs	수신된 세그먼트의 총 개수
udpInDatagrams	UDP 데이터그램의 총 개수
ipv6IfIcmpInNeighborSolicits	NeighborSolicit 수신 메시지수
ipv6IfIcmpInNeighborAdvertisements	Neighbor Advertisement 수신 메시지수
ipv6IfIcmpInRouterSolicits	RouterSolicit 수신 메시지수
ipv6IfIcmpInRouterAdvertisements	RouterAdvertisement 수신 메시지수
ipv6IfStatsInMcastPkts	송신 한 멀티 캐스트 Packet 수

3.2 공격 탐지 모듈

MIB객체로 수집된 실제 트래픽로 예측치와 평균절대오차를 구하여 정상트래픽상한을 초과하면 공격으로 판정하는 모듈이다.

- 1) 초기화 : 네트워크에서 트래픽 발생하는 매 시점마다 공격을 판단하는 것은 어려운 일이다. 따라서 본 논문에서는 각 프로토콜별 트래픽의 양을 일정한 주기(30초마다) 초기의 MAD 또는 표준편차를 결정한다.
- 2) 실제치 입력 : 트래픽 측정 장치로부터 t시점에서 실제로 측정된 트래픽 X_t 를 입력 받는다.
- 3) 예측치 존재 판단 : 예측을 처음 시작하였거나 이상상태가 끝난 후, 지수평활법이 재실행되었을 경우에는

그 시점에 대한 예측치(Y_t)가 존재하지 않는다. 예측치가 존재하지 않을 경우에는 예측치가 실제치와 같다고 설정한다($Y_t = X_t$). 이 때 예측오차(E_t)는 0이 된다. 예측치가 존재하는 일반적인 경우에는 예측오차는 실제치와 예측치의 차이가 된다($E_t = X_t - Y_t$).

4) 정상 범위 계산 :

$$UCL = Y_{t+1} + z_{\alpha}\sigma_t$$

$$= Y_{t+1} + 1.25 \cdot z_{\alpha}MAD_t$$

비탕으로 예측치(Y_t)와 MAD 또는 표준편차를 이용하여 관리한계의 상한을 결정한다.

5) 이상 상태 파악 실제치(X_t)가 정상트래픽 한계를 벗어날 경우($X_t > Y_t + z_{\alpha}\sigma_t$)에서는 네트워크에 이상이 발생하였다고 판단하여 지수평활법을 정지하고, 공격 상태처리모듈을 수행한다. 실제치가 정상 범위에 있을 경우($X_t \leq Y_t + z_{\alpha}\sigma_t$)에는 다음 단계로 진행하여 지수평활법을 계속 수행한다.

6) 다음 시점 예측, 표준편차, MAD 업데이트 :

관리한계 내의 실제치(X_t)를 사용하여

$$Y_{t+1} = \alpha X_t + (1-\alpha) \cdot Y_t, \quad 0 < \alpha \leq 1$$

에 따라, 다음 시점의 예측치(Y_{t+1})를 계산한다.

또한 현재의 예측 오차를 바탕으로

$$\sigma_t^2 = \delta \cdot E_t^2 + (1-\delta) \cdot \sigma_{t-1}^2, \quad 0 < \delta \leq 1$$

$$MAD_t = \delta |E_t| + (1-\delta)MAD_{t-1}$$

를 사용하여, 다음 시점의 정상 범위계산에 필요한 표준편차 또는 MAD를 업데이트한다. 그 후, 다음 시점의 실제치가 입력될 때까지 대기 한다.

7) 이상 상태 처리 모듈 : 이상 상태파악단계에서 트래픽의 공격상태가 발견되면 지수평활에 의한 예측을 중지하고, 트래픽이 다시 정상 상태가 되기를 기다린다. 현재의 공격트래픽은 무시하고, 다음 시점의 트래픽을 입력 받는다. 현 시점의 트래픽이 정상적이라고 판단되면, 지수평활법을 다시 시작한다. 다시 시작되는 지수평활법에서, 표준편차 또는 MAD는 이상 발생 이전의 값이 그대로 사용되고, 그 시점에 대한 예측치가 없기 때문에 예측치의 초기값은 실제치와 같다고 설정된다. 입력된 트래픽이 여전히 공격상태로 판단되면 정상상태의 트래픽이 도착할 때까지 대기한다[7][8].

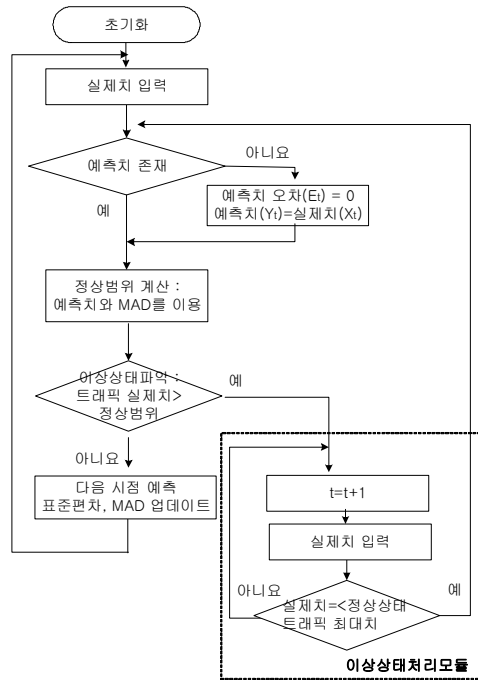


그림 7. 임계치 산출 흐름도
Fig. 7. Module of Attack Detection

임계치 산출 흐름도에서 중요한 점은 이상트래픽이 한번 발생하면 이상트래픽의 계속된 유입은 무시하며 정상상태의 트래픽이 도착할 때까지 대기한다.

공격 탐지 모듈은 트래픽이 유입되면 ipv6IfStats InReceives의 MIB으로 임계치를 구하여 공격을 판정하게 된다. TCP, UDP, ICMP별 지수평활법의 예측치와 임계치를 구하여 실제 수집된 MIB 실제치와 비교하여 임계치 초과일 경우 공격으로 판정한다. 포트별 판정 후 기존의 공격에 사용된 포트번호를 비교하여 TCP, UDP 공격으로 판정하며, 멀티캐스트로 입력되는 트래픽 총 패킷량을 수집하여 다시 한번 임계치를 구하여 마지막 공격을 검출한다. 트래픽분석 과정은 그림 8과 같다.

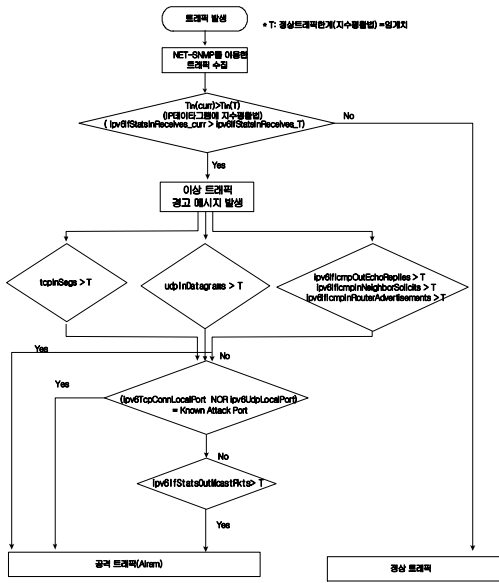


그림 8. 트래픽 분석 흐름도
Fig. 8. Flow of Traffic Analysis

```

Traffic analysis procedure
let Log() be a reading a log's value
let attack() be a attack traffic alarm

if ipV6StatsInReceives(curr) > ipV6StatsInReceives(T)
    return attack_IP_Datagram_Flooding : current log value

if tcpInSegs(curr) > tcpInSegs(T)
    return attack_TCP_Flooding
if udpInDatagrams(curr) > udpInDatagrams(T)
    return attack_UDP_Flooding
if ipV6IcmpOutEchoReplies(curr) > ipV6IcmpOutEchoReplies(T)
    return attack_ICMP_Flooding
if ipV6IcmpInNeighborSolicits(curr) > ipV6IcmpInNeighborSolicits(T)
    return attack_ICMP_Flooding
if ipV6IcmpInRouterAdvertisements(curr) > ipV6IcmpInRouterAdvertisements(T)
    return attack_ICMP_Flooding

if ipV6StatsOutMcastPkts(curr) > ipV6StatsOutMcastPkts(T)
    return attack_Multicast_Flooding
if ipV6UdpLocalPort = Known attack port
    return attack_Udp_Port_attack

if ipV6TcpConnLocalPort = Known
    return attack_Tcp_Port_attack
pass traffic analysis function
return Log()
    
```

그림 9. 트래픽 분석 알고리즘
Fig. 9. Algorithm of Traffic Analysis

공격트래픽의 포트번호를 TCP 포트와 UDP포트로 접근시 차단을 위해 기존 공격 포트를 리스트에 저장하여 검출한다. 사용되는 MIB는 ipV6TcpConnLocal Port(TCP로 수신된 connection 로컬 Port 번호), ipV6UdpLocalPort(UDP로 수신된 로컬 Port 번호)이다.

IV. 실험 및 결과 고찰

실험은 IPv6 환경에서 수행하였으며 PC라우터를 통해 마스터에서 공격한 명령이 에이전트로 전달되고 감염된 여러 에이전트가 동시에 관리대상으로 NETWOX로 만들어진 공격 패킷을 전송하여 관리대상시스템에서 서비스 거부 현상을 발생 시킨다[9][10].

4.1 공격 트래픽 검출

NET-SNMP를 이용한 트래픽 분석을 통해 지수평활계수를 $\alpha=0.3$ (평활상수), $\delta=0.05$ (분산평활상수) $\sigma=7$ (시그마계수)으로 설정하여 정상트래픽한계를 구하여 공격을 검출한 구간은 실제치 부분이며 임계치 구하고 지수평활계수를 사용한 공격검출한다. 실험에 사용된 트래픽 기준으로는 일반적인 트래픽의 기준선으로 한달 평균의 일반 트래픽 수치를 표현하여 공격트래픽과 대조에 사용하였다. 실제 트래픽이 유입되면 예측치를 구하여 임계치가 산정된다. 임계치를 기준으로 정상트래픽한계를 초과한 부분이 공격으로 판정되는 구간이다. TCP 플러딩 공격이 30초 21:01:00~21:01:30에서 TCP트래픽이 폭주하여 21:01:30에서 정상트래픽한계를 벗어나 공격 검출된 공격트래픽 구간이다.

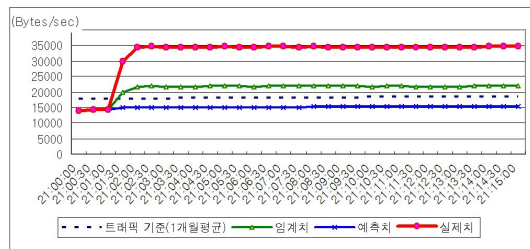


그림 10. TCP Flooding 공격 트래픽($\alpha=0.3, \delta=0.05 \sigma=7$)
Fig. 10. Traffic of TCP Flooding($\alpha=0.3, \delta=0.05 \sigma=7$)

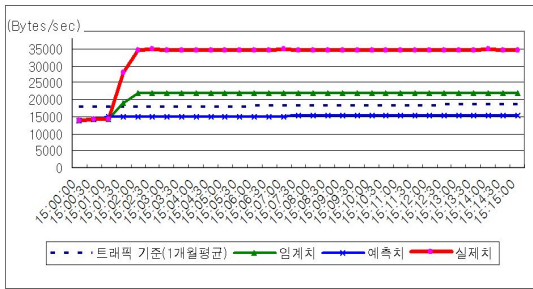


그림 11. UDP Flooding 공격 트래픽($\alpha=0.3, \delta=0.05, \sigma=7$)
 Fig. 11. Traffic of UDP Flooding($\alpha=0.3, \delta=0.05, \sigma=7$)

UDP Flooding 공격이 30초 15:01:00~15:01:30에서 TCP트래픽이 폭주하여 15:01:30에서 정상트래픽한계를 벗어나 공격 검출된 공격트래픽 구간을 낸다. 피해 시스템에 공격트래픽을 대량으로 전송하여 트래픽이 일시에 폭등하는 트래픽이 분포한다.

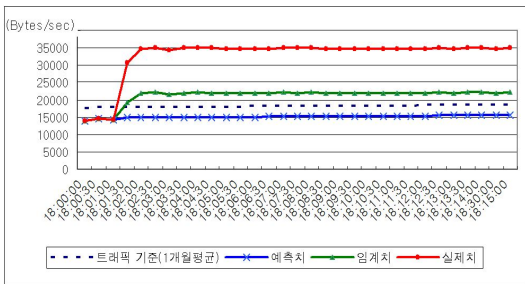


그림 12. ICMP Flooding 공격 트래픽($\alpha=0.3, \delta=0.05, \sigma=7$)
 Fig. 12. Traffic of ICMP Flooding($\alpha=0.3, \delta=0.05, \sigma=7$)

ICMP Flooding 공격이 30초 18:01:00~18:01:30에서 ICMP 트래픽이 폭주하여 18:01:30에서 정상트래픽한계를 벗어나 공격 검출된 공격트래픽 구간을 나타내고 있으며 30초 간격으로 기준방식의 탐지보다 신속한 탐지가 이루어진다.

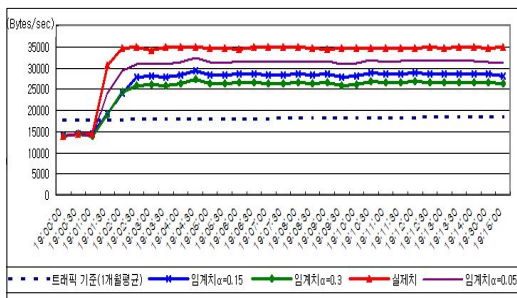


그림 13. $\alpha=0.3, \alpha=0.15, \alpha=0.05$ 의 임계치와 공격 트래픽
 Fig. 13. Attack Traffic($\alpha=0.3, \alpha=0.15, \alpha=0.05$)

각각의 $\alpha=0.3, \alpha=0.15, \alpha=0.05$ 로 구분하여 예측치를 구하고 정상트래픽한계와 같이 표현하면 같은 구간에서 다음과 같은 임계치와 공격 트래픽이 분포한다. α 의 값을 변경하며 실험한 결과 다음과 같은 임계치 이상의 공격 구간이 분포되었다.

지수평활계수를 α 경우 0.3~0.05 사이의 값을 주면 임계치(정상트래픽한계)가 달라진다. 적합한 구간은 α 의 경우 0.05으로 값을 사용하는 것이 효율적이다.

표 2. 성능 분석 결과
 Table 2. Result of Performanc Analysis

평활상수(α)	분산평활상수(δ)	시그마계수(σ)	탐지율(%)
0.3	0.05	5	75
0.3	0.05	7	89
0.05	0.05	5	97
0.05	0.05	7	96
0.05	0.005	7	94

평균적인 평활계수를 구하기 위해 하루 50번 한달 동안 공격을 수행하여 적합한 계수의 수치를 표 1과 같이 구하였다. 평활상수(α)는 0.05, 분산평활상수(δ)는 0.05를 사용하는 것이 탐지율이 높으며 시그마계수(σ) 5를 하는 것이 탐지율 97%의 높은 검출율을 갖고 있다.

$\alpha=0.05, \delta=0.05, \sigma=5$ 를 사용하여 침입을 검출하는 것이 효율적으로 검출되어 공격 검출에 평활계수 수치를 고려하여 트래픽 검출에 사용하면 효율적으로 검출할 수 있다.

V. 결론

본 논문은 지수평활법을 적용하여 실제 트래픽으로 구해진 예측치로 임계치를 초과하는 입력 트래픽은 공격으로 판별하고 정상트래픽한계 즉 임계치를 각각의 MIB인 tcpInSegs, udpInDatagrams, ipv6Icmp OutEcho Replies을 30초 간격으로 트래픽을 수집하여 TCP Flooding, UDP Flooding, ICMP Flooding 공격을 검출한다. 또한 이에 보다 정확한 검출을 위해 공격에 사용되는 기준공격 포트번호를 ipv6TcpConnLocalPort, ipv6UdpLocalPort을 이용하여 공격을 판별하고, 수신되는 멀티캐스트 메시지의 지수평활법 임계치를 구하여 멀티캐스트 메시지 공격인지 판별하였다.

앞으로 향후 침입탐지시스템이나 침입방지시스템에 적용하여 사용할 수 있을 것이다.

참고문헌

- [1] 한국전산원, IPv6 Status Report IPv6 동향, 2004.
- [2] 유대성, 오창석, “공격 탐지를 위한 트래픽 수집 및 분석 알고리즘”, 한국콘텐츠학회 논문지, 제4권 4호, pp.33-43, 2004.
- [3] 이홍규, 구향욱, 김선영, 김영기, 오창석, “IPv6 기반 자동화된 공격 대응도구”, 한국컴퓨터정보학회 논문지 제10권 3호, pp.249-257, 2005.
- [4] 구향욱, 백순화, 오창석 “IPv6 환경에서의 유해트래픽 분석”, 한국콘텐츠학회 2005 추계 종합학술대회 논문집, 제3권 2호, pp.195-199, 2005.
- [5] <http://www.net-snmp.org/>
- [6] <http://ipv6.lghitachi.co.kr/manual/korean/gs4000/HTML/MIBREF/>
- [7] D. Risteski, A. Kulakov, D. Davcev, “Single Exponential Smoothing Method and Neural Network in One Method for Time Series Prediction,” Cybernetics and Intelligent Systems, 2004 IEEE Conference on Vol.2, pp.741-745, 2004.
- [8] 나중찬, 실시간 트래픽 분석에 의한 예측모형 기반 네트워크 이상징후 탐지 기법, 충남대학교대학원 박사학위논문, 2003.
- [9] Bennett Todd, Distributed Denial of Service Attacks, http://www.linuxsecurity.com/resource_files/intrusion_detection/ddos-faq.html
- [10] 오창석, 생동하는 TCP/IP 인터넷, 내하출판사, 2004.

저자 소개



구민정

1999년 8월 한밭대학교 전자계산학과(이학사)
 2002년 2월 충북대학교 컴퓨터공학과(공학석사)
 2006년 2월 충북대학교 컴퓨터공학과(공학박사)
 2003년 8월~2006년 1월 백석대학교 겸임
 2006년 3월~현재 영동대학교 컴퓨터공학과 전임강사
 <관심분야> 컴퓨터네트워크, 뉴로컴퓨터, 정보보호



오창석

1978년 2월 연세대학교 전자공학과(공학사)
 1980년 2월 연세대학교 전자공학과(공학석사)
 1988년 8월 연세대학교 전자공학과(공학박사)
 1985년~현재 충북대학교 전기전자 컴퓨터 공학부교수
 1982년~1984년 한국전자통신연구원 연구원
 1990년~1991년 Stanford 대학교 객원교수
 2001년~2004년 한국콘텐츠학회 논문지편집위원장
 2004년~현재 한국콘텐츠학회 상임고문
 <관심분야> 컴퓨터네트워크, 뉴로컴퓨터, 정보보호